

論 文

大韓熔接學會誌
第1卷 第2號 1983年12月
Journal of the Korean
Welding Society
Vol. 1, No. 2, Dec., 1983

스테인레스강 Overlay 용접부의 Disbonding에 관한 연구(1)

—스테인레스鋼 오우버레이 熔接部의 炭素 移動에 관한 理論的 解析과 그 實驗—

李暎浩* · 尹義博**

Study on the Disbonding of Stainless Steel Overlay Welded Metal (report 1)

—Theoretical Analysis for Carbon Migration in Stainless Steel overlay Welded Metal and Its Experiment—
by

Young Ho Lee*, Eui Pak Yoon**

Abstract

Many pressure vessels for hot H₂/H₂S service are made of 2½Cr-1Mo steel with austenitic stainless steel overlay to combat aggressive corrosion due to hydrogen sulfide. Hydrogen dissolves in to materials during operation, and sometimes gives rise to unfore-seeable damages. Appropriate precautions must, therefore, be taken to avoid the hydrogen induced damages in the design, fabrication and operation stage of such reactor vessels. Recently, hydrogeninduced cracking(or Disbonding) was found at the interface between base metal and stainless weld overlay of a desulfurizing reactor.

Since the stainless steel overlay weld metal is subjected to thermal and internal-pressure loads in reactor operation, it is desirable for the overlay weld metal to have high strength and ductility from the stand point of structural safety. In section III of ASME Boiler and Pressure Vessel Code, Post-Weld Heat Treatment(PWHT) of more than one hour per inch at over 1100°F(593°C) is required for the weld joints of low alloy pressure vessel steels. This heat treatment to relieve residual stresses in the welded joint during construction of the pressure vessel is considered to cause sensitization of the overlay weld metal.

The present study was carried out to make clear the diffusion of carbon migration by PWHT in dissimilar metal welded joint. The main conclusions reached from this study are as follows:

- 1) The theoretical analysis for diffusion of carbon in stainless steel overlay weld metal does not agree with Fick's 2nd law but the general law of molecular diffusion phenomenon by thermodynamic chemical potential.
- 2) In the stainless steel overlay welded joint, the PWHT at 720°C for 10 hours causes a diffusion of carbon atoms from ferritic steel into austenitic steel according to the theoretical analysis for carbon migration and its experiment.
- 3) In case of PWHT at 720°C for 10 hours, the micro-hardness of stainless steel weld metal in

* 忠南大學校 工大, 정희원

** 漢陽大學校 工大, 정희원

bonded zone increase very highly in the carburized layer with remarkable hardening than that of weld metal

1. 序 論

高溫高壓下에서 사용되고 있는壓力容器는, 주로 ASME Sec. III 또는 Sec. VIII Div. 2에 따라서設計製作되고 있으며石油精製, 化學 및 原子力關係等에 많이 사용되고 있다. 이들壓力容器類의 使用 중에發生하는問題點에 대해서는 점차 解決되고 있으며 性能이 뛰어나고 安全性이 높은 용기가製作供給되기에 이르렀다.¹⁾

그러나 이들 플랜트에 있어서의 프로세스는 高溫高壓의 경향으로 가고 있으며 또한 그裝置도大型화되기 때문에容器材料는 보다 苛酷한 條件 하에서 사용되고 있다. 특히 石油精製, 암모니아 및 메탄을 工業에서는 高溫高壓의 水素環境에서 사용되고 있어容器materials의 選定 및製作에 관해서는 물론, 운전 조건의 콘트롤에 대해서도 細心한 注意를 必要로 한다.

이와 같은 壓力容器材로서는 低合金鋼($2\frac{1}{2}$ Cr—1Mo)이 주로 사용되고 있는데 이들容器의 内面에는 오오스테나이트系 스테인레스 鋼을 오우버레이熔接하는 경우가 많다. 이 오우버레이熔接部는 熔接後 상당히長時間에 걸쳐 후열처리(PWHT: Post Weld Heat Treatment)를 실시하도록 規定되어 있으며²⁾ 製造工程에 있어서는 50 시간에 걸친 경우도 있다. 이와 같은 热處理는 低合金鋼熔接 이음부의 残留應力を 除去 및 調質化를 위하여 實施하는 것으로서 스테인레스 鋼 오우버레이熔接部에 대해서 실시하는 것이 아니다. 이 때문에 스테인레스 鋼 오우버레이熔接部는 銳敏化 處理를 實施한 結果가 되어 오우버레이熔接金屬의 性能低下를 가져오기 때문에 오우버레이熔接部의 热履歷을 받은 후의 용접부 性能을 檢討하는 것은 대단히 重要한 일이다.

最近, 고온 고압의 H_2 — H_2S 環境에서 사용되고 있는 스테인레스 鋼 오우버레이熔接金屬部에 水素의 原因으로 보이는 一種의 水素誘起 斬裂(hydrogen induced cracking or disbonding)³⁻⁵⁾이 發生되고 있다는 報告³⁻⁵⁾가 나오고 있어 壓力容器의 製造 및 運轉에 있어서 構造物의 安全상 커다란 문제가 되고 있다.

본研究는 이러한 觀點에서 壓力容器 製造時에 있어서의 異種金屬 오우버레이熔接部의 健全性을 確保하는 要因의 하나로 사료되는 熔接後熱處理에 着眼하여 오우버레이熔接部의 組織 및 性能에 미치는 熔接後熱處理

理의 影響을 詳細하게 檢討하고 이 PWHT의 熔接部의 水素 분위기 접촉에 의한 水素脆化 斷裂에 관하여 熔接冶金學의 考察을 通하여 총괄 檢討하였다.

熔接部에서의 物質移動은 基本現象의 하나로서 施工上 重要한 문체를 수반한다. 오우버레이熔接部의 PWHT 時의 炭化物形成에 의한 硬化의 문체라던지 高張力鋼熔接部의 擴散에 의한 지연균열(delayed crack)等의 문체이다.

이와 같은 異材熔接部가 製品으로서 實際 使用되는 경우에相當히 높은 温度에서 使用되는 경우가 많다. 이 때의 温度는 製作時의 加熱 温度에 비해 일반적으로 낮으나 대단히 長時間 사용된다. 이 때, 가장 뚜렷이 나타나는 現象이 炭素의 移動이다. 일반으로 페라이트系 鋼側의 炭素가 오오스테나이트系 鋼側에 移動하여 페라이트 鋼側에서는 脱炭이 일어나 페라이트 鋼側의 機械的 性質에 變化를 가져온다.⁶⁾ 또 한편으로 스테인레스 鋼側(오오스테나이트系)에서는 炭化物이 析出하여 이것이 表面까지 미치면 그 耐蝕性을 減少시킨다. 따라서 PWHT와 炭素의 移動 狀況을 把握하는 것은 오우버레이鋼의 使用상 대단히 重要한 문체이다.

熱處理條件과 炭素移動의 問題에 대해서는 從來부터 實驗이 實施되어 오고 있으나⁶⁻⁹⁾ 페라이트鋼인 $2\frac{1}{2}$ Cr—1Mo 鋼과 오오스테나이트系인 스테인레스 鋼에 관한 資料는 별로 찾아보기 힘들며 또한, 結果의 相互間의 差 때문에 信賴性의 面에서도 問題가 되고 있다. 지금까지 物質擴散 非定常問題는 Fick의 第2法則을 利用하여 解析하는 경우가 많았다. 확실히 Fick의 第2法則은 热傳導 方程式과 같은 型으로서 여러 條件下에 그 解가 얻어지고 있기 때문에 대단히 유용했다. 그러나 物質移動에 있어 Fick의 法則은 擴散하는 物質의 活量이 變化하지 않는다고 하는 特殊한 경우에만 成立하기 때문에 一般式은 아니다. 物質擴散은 濃度勾配에 의해서 이 를어지는 것이 아니고 化學 포텐셜 勾配에 의해서 일어난다.

本考에서는 오오스테나이트와 페라이트가 접하고 있는 경우의 炭素의 擴散解析을 행하고 아울러 PWHT와 成分의 移動 狀況에 대해서 擴散의 基礎式을 利用하여 解析의 檢討를 행한 다음 오우버레이熔接境界部의 炭素移動에 대한 實驗結果와 比較, PWHT와 炭素의 移動範圍에 관한一般的 結論을 導出하고 擴散物質의 化學 포텐셜 혹은 活量의 概念과 物質擴散에 있어서의 그들의 重要性을 나타냈다.

2. 物質擴散의 一般則

注目하는 系에 있어 化學反應에 의하여 生成物을 發生하거나 빼앗기지 않는다면 系의 物質平衡은 다음 式으로 나타낸다.

$$\iiint_v \frac{\partial c}{\partial t} dv + \iint_s \vec{J} \cdot \vec{n} ds = 0 \quad (1)$$

(1)式의 左邊 第1項은 系의 物質蓄積速度이며 第2項은 系表面으로부터의 物質의 流入量을 나타낸다. 단. \vec{J} 는 物質流速 벡터이다. Gauss積分定理를 사용하여 (1)式을 바꾸어 쓰면

$$\iiint_v \left(\frac{\partial c}{\partial t} + \nabla \cdot \vec{J} \right) dv = 0 \quad (2)$$

$$\text{단, } \nabla = \frac{\partial}{\partial x} + \frac{\partial}{\partial y} + \frac{\partial}{\partial z}$$

이 된다. 따라서 物質擴散式은

$$\frac{\partial c}{\partial t} = -\nabla \cdot \vec{J} \quad (3)$$

으로 나타내어진다.

포텐셜場에서 運動하는 粒子에 作用하는 힘은 포텐셜勾配이며 物質擴散인 경우에 對應하는 포텐셜은 热力學的 化學 포텐셜, μ 이기 때문에 擴散의 热力學的驅動力 \vec{F} 는 (4)式과 같이 表示된다.

$$\vec{F} = -\Delta\mu \quad (4)$$

\vec{F} 와 物質의 擴散速度 \vec{V} 와의 關係는 式 (5)로 나타낸다.

$$\vec{V} = B\vec{F} \quad (5)$$

여기서 B 는 移動度(mobility)이다. 또한 B 는

$$B = D/RT \quad (6)$$

로서 D 는 稀薄固溶體에서의 擴散係數이며 R 은 가스定數 T 는 絶對溫度이다.

物質流速은 單位體積當의 物質의 數와 物質擴散速度의 積으로 나타내어지기 때문에 (4), (5), (6)式을 使用하여 (7)式으로 나타내어진다.

$$\vec{J} = C\vec{V} = BFC = -\frac{Dc}{RT} \nabla\mu \quad (7)$$

物質流速으로 表示된 擴散 方程式 (3)을 化學 포텐셜로 表示하면 (7)式을 利用하여 (8)式처럼 나타내어진다.

$$\frac{\partial c}{\partial t} = \nabla \cdot \frac{Dc}{RT} \nabla\mu \quad (8)$$

化學 포텐셜의 定義式은

$$\mu = \mu_0 + RT \ln f_c \quad (9)$$

f : 活量係數,

μ_0 : 純粹狀態($C=0$)에서의 化學 포텐셜이므로

(8)式은 다음과 같이 바꾸어 쓸 수가 있다.

$$\frac{\partial c}{\partial t} = \nabla D \left(1 + C \frac{\nabla \ln f}{\nabla C} \right) \nabla \cdot C \quad (10)$$

(10)式이一般的한 物質擴散 方程式이다. 擴散媒質이 均一하고 擴散物質의 濃度가 稀薄하다면 活量係數勾配가 없기($\nabla f=0$) 때문에 (10)式은 Fick의 第2法則이다.

3. 페라이트와 오오스테나이트 共存 狀態에서의 炭素의 擴散

3. 1 炭素의 活量

페라이트와 오오스테나이트의 2相이 共存할 경우의 炭素擴散은 炭素鋼의 A_1 變態點 이상에서의 脱炭 어니얼링 또는 오오스테나이트계 스테인레스 오우버레이鋼의 PWHT 등에서 實際로 일어나고 있는 現象이다. 이와 같은 2相域에 있어서의 物質擴散은濃度勾配가 아니고 化學 포텐셜勾配에 의해서支配되며 때문에 각相에 있어서의 擴散物質의 活量을 먼저 알지 않으면 안된다.

페라이트와 오오스테나이트의 각相에 있어서의 炭素의 活量은 F_e-C 2元系 平衡狀態圖에서 구해진다. 왜냐하면 平衡狀態는 化學 포텐셜의 平衡으로부터(同一溫度에서는 活量의 平衡으로부터)決定되고 있기 때문이다. Fig. 1에 F_e-C 系 平衡狀態圖와 이 圖에 對應하는 725°C에 있어서의 炭素의 活量을 나타낸다.

Fig. 1에서 알 수 있는 바와 같이 725°C인 페라이트域에서 飽和溶解度에 있는 炭素濃度와 오오스테나이트域에서 A_3 變態點에서의 炭素濃度와는 서로 平衡하고 있어 兩者的活量은 같다.

$$a_e^r(S) = a_c^r(A_3)$$

단, 여기서 a_e^r 와 a_c^r 은 페라이트와 오오스테나이트域에서의 活量을 나타낸다.

즉,

$$f_e^r \cdot C_e^r(S) = f_c^r \cdot C_c^r(A_3) \quad (11)$$

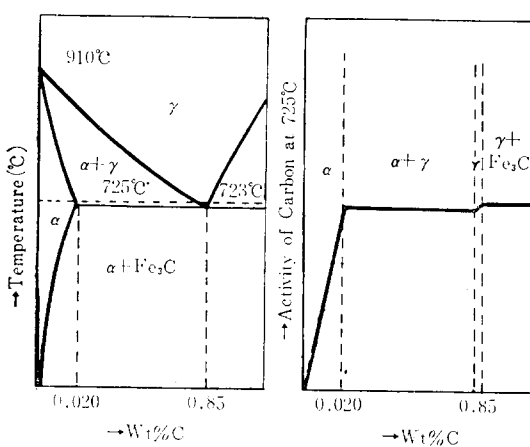


Fig. 1. Equilibrium phase diagram and activity of carbon in Fe-C system.

725°C에 있어서 $C_c^{\alpha}(S)=0.020\%$ 이며 $C_c^{\gamma}(A_3)=0.85\%$ 이기 때문에 페라이트와 오오스테나이트에 있어서의 탄소의 활성화는 다음과 같다.

$$f_c^{\alpha}/f_c^{\gamma}=42.5 \quad \dots\dots\dots(12)$$

이와 같이相이變하면 탄소의 활성화는 크게 변하기 때문에 페라이트와 오오스테나이트가共存하는 상태에서 탄소의擴散을解析하는 경우, (10)式的活量係數勾配를無視할 수 없는 것은當然하다.

탄소의活量은相의差異에 의해서變化할 뿐만 아니라 탄소濃度 그自身 및他固溶元素의濃度에도依存한다.擴散하는 物質 i 의活量係數에 미치는共存元素 j (i 도 포함)의影響은相互作用係數, $e_i^{(j)}$ 로定義된다.

$$e_i^{(j)}=\partial \log f_i / \partial C_j$$

단, C_j 는 wt.%이다. $e_i^{(j)}$ 가一定한 경우,

Table 1. Effect of co-existent elements on activity coefficient of Carbon.

Co-existent Elements, j	Auxiliary Coefficient, $e_i^{(j)}$
C	1.79
Ni	0.012
W	-0.003
Mo	-0.009
Ct	-0.024
Nb	-0.060

$$\log f_i = e_i^{(j)} \cdot C_j \quad \dots\dots\dots(13)$$

이다. 탄소의相互作用係數의값을各種共存元素에대해 나타내면 Table 1과같다.

탄소의影響은固體에있어서의實驗으로부터얻어진값이며¹⁰⁾他元素의影響은熔鐵에있어서의實驗值得의한값이다.¹¹⁾3成分系以上의相에대한影響도포함한탄소의活量係數는다음式으로주어진다.

$$f_c = f_c(\text{相}) \cdot f_c(c) \cdot f_c(Ni) \cdot f_c(Cr) \quad \dots\dots\dots(14)$$

3. 2 오오스테나이트系 스테인레스 오우버레이 鋼의 PWHT 時에 있어서의炭素擴散

오오스테나이트系 스테인레스 오우버레이鋼은 2~Cr-1Mo(0.14% C, 2.43% Cr-0.98% Mo)인 페라이트鋼을母材로하고 309 오오스테나이트系 스테인레스钢(0.013C, 11.09% Ni-21.1% Cr)을 오우버레이한 경우를解析한다. 오우버레이熔接後, 760°C×10 hr의 PWHT를實施한 때의兩相의境界附近에서炭素의一次元解析을하는데, 解析을용이하게하기위하여오우버레이熔接전에炭素의活量에영향을주는諸合金元素(炭素를포함)의擴散은일어나지않았다고假定한다.

兩相의境界를除하고各相에서는Ni, Cr等의合金元素의濃度勾配가없기때문에活量係數勾配는없으며($\nabla f_c=0$), PWHT溫度는一定(760°C)하기때문에擴散係數는定數로볼수있어Fick의第2法則이成立된다. 단, 페라이트相과 오오스테나이트相에서의 725°C時의탄소의活量係數는Wert¹²⁾와Mehl¹³⁾에의하였다.

$$D_c^{\alpha}=1.2 \times 10^{-6} \text{cm}^2/\text{sec}(725^\circ\text{C})$$

$$D_c^{\gamma}=1.8 \times 10^{-8} \text{cm}^2/\text{sec}(725^\circ\text{C}, C=0.8\%)$$

兩相의境界에있어서는式(7)의物質流速벡터의定義로부터化學포텐셜은연속이지않으면안된다. Fig. 2에나타낸座標를使用하면境界條件은다음식으로나타내어진다.

$$\mu_c^{\alpha} |_{X_2=0} = \mu_c^{\alpha} |_{X_1=0}$$

$$\text{즉}, f_c^{\alpha} \cdot C_c^{\alpha} |_{X_2=0} = f_c^{\alpha} |_{\cdot} \cdot C_c^{\alpha} |_{X_1=0} \quad \dots\dots\dots(16)$$

또, 각相內에서뿐만아니라境界에있어서도物質收支式(Fick의第1法則)을만족하지않으면안된다.

$$-D_c^{\alpha} \cdot \frac{\partial C_c^{\alpha}}{\partial X_2} \Big|_{X_2=0} = D_c^{\gamma} \frac{\partial C_c^{\alpha}}{\partial X_1} \Big|_{X_1=0} \quad \dots\dots\dots(17)$$

Concentration of Carbon ↑

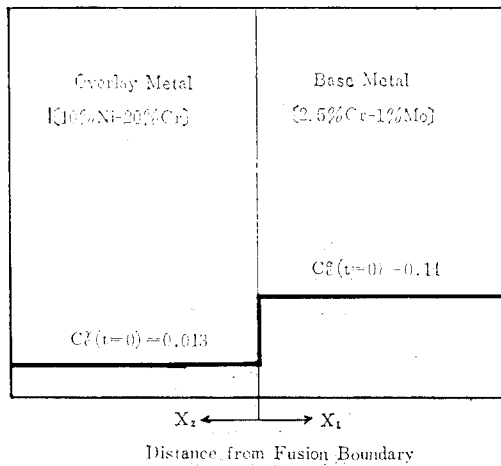


Fig. 2. Initial conditions for Analysis of Carbon diffusion.

결국, 2相擴散 方程式은 다음과 같이 表示된다.

$$\begin{aligned} \text{微分 方程式 : } & \frac{\partial C_e^r}{\partial t} = D_e \frac{\partial^2 C_e^r}{\partial X_2^2} \\ \alpha \text{相} & \frac{\partial C_e^a}{\partial t} = D_e \frac{\partial^2 C_e^a}{\partial X_1^2} \end{aligned}$$

初期 條件 : $C_e^r(x_2, 0) = C_{r0}, C_e^a(x_1, 0) = C_{a0}$

" I : $C_e^r(\infty, t) = C_{r0}, C_e^a(\infty, t) = C_{a0}$

" II : $f_e^r \cdot C_e^r(o, t) = f_e^a \cdot C_e^a(o, t)$

境界 條件 III : $-D_e \frac{\partial C_e^r(o, t)}{\partial x_2} = D_e^a \cdot \frac{\partial C_e^a(o, t)}{\partial x_1}$

이상의 解析解는 다음과 같이 주어진다.

$$\begin{aligned} C_e^r &= C_{a0} + \frac{(f_e^r/f_e^a) C_{r0} - C_{a0}}{(f_e^r/f_e^a) \sqrt{D_e^a/D_e^r} + 1} \\ &\quad \cdot \operatorname{erfc}\left(\frac{X_1}{2\sqrt{D_e^a \cdot t}}\right) \\ C_e^a &= C_{r0} + \frac{(f_e^a/f_e^r) C_{a0} - C_{r0}}{(f_e^a/f_e^r) \sqrt{D_e^r/D_e^a} + 1} \\ &\quad \cdot \operatorname{erfc}\left(\frac{X_2}{2\sqrt{D_e^r \cdot t}}\right) \end{aligned} \quad (18)$$

여기서, erfc 는 補誤差函數이다.

(18)式의 解로부터 확실하게 알 수 있듯이 $2\frac{1}{2}Cr-1Mo$ 鋼과 309 스테인레스 鋼의 活量係數 비는 重要한 차이미터이며 각각의 活量係數는 Table 1의 關係로부터 다음과 같이 計算된다.

$$2\frac{1}{2}Cr-1Mo 鋼 : f_e^a = f_e^r \cdot f_e^{Cr}(2.43\%)$$

$$\cdot f_e^{Mo}(0.98\%) = f_e^a \times 0.87 \times 0.98$$

$$309 鋼 : f_e^r = f_e^r \cdot f_e^{Cr}(21.1) \cdot f_e^{Ni}(11.09\%)$$

$$= f_e^r \times 0.311 \times 1.35$$

따라서, 兩 鋼의 活量係數 비는 (12)式을 利用하여 다음과 같이 주어진다.

$$f_e^a/f_e^r = \frac{0.853 f_e^a}{0.420 f_e^r} \cong 86.3 \quad (18)$$

Fe-C 2元素에서 페라이트와 오오스테나이트의 活量係數 비가 42.5였던 것이 이와 같이 增加한 理由는 309 鋼의 Cr 量에 의한 것으로 料料된다.

擴散係數 D 는 溫度에 의하여 變化한다. 一般的으로 擴散係數 D 는 $D = D_0 e^{-Q/RT}$ 로 나타내며 여기서 D_0 는 振動數因子(cm/sec), Q : 活性化 에너지($kcal/mol$), R : 가스 정수($kcal/mol$), T : 絶對溫度(K)를 각각 나타낸다. 相互擴散의 경우, D_e^a/D_e^r (炭素 擴散係數 比)는

$$D_e^a/D_e^r \cong 78.8 \quad (19)$$

이다. (18), (19)를 (18)式에 대입하면 (20) 및 (21)식으로 나타낼 수 있다.

$$C_e^a = 0.14 - 0.13 \operatorname{erfc}\left(\frac{X_1}{2\sqrt{D_e^a \cdot t}}\right) \quad (20)$$

$$C_e^r = 0.013 + 1.13 \operatorname{erfc}\left(\frac{X_2}{2\sqrt{D_e^r \cdot t}}\right) \quad (21)$$

이상의 解析에 의하여 $760^\circ C$ 에서 10時間 PWHT를 實施한 경우의 炭素의 濃度分布를 解析解에 따라 플로트한 것이 Fig. 3이다. 熔接境界附近의 오오스테나이트 相에 있어서 炭素濃度가 높아지고 있으며 그量에 對應하는 만큼 페라이트 相에서 脱炭이 발생하였음을 나타내고 있다. 이것은 實際, 오오스테나이트계 스테인레스 鋼 오우버레이 熔接部의 엎-힐 확산(up-hill diffusion) 現象¹⁴⁾으로 알려지고 있다.

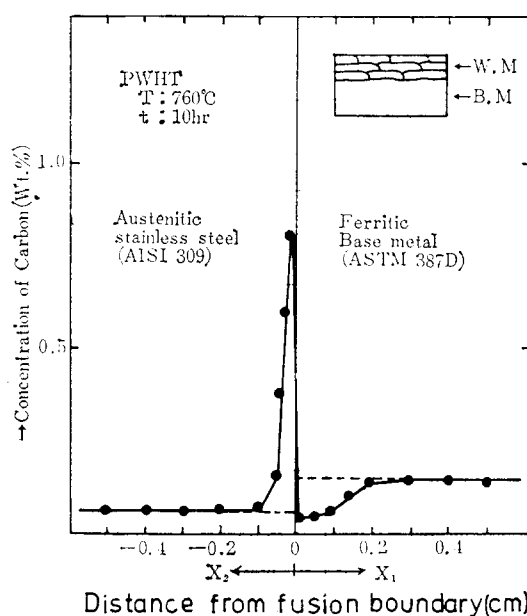


Fig. 3. Distribution of carbon concentration after PWHT(at 760°C×10 hr).

4. 實驗材料 및 方法

母材는 低合金鋼(2½Cr-1 Mo鋼)을, 熔接材料는 오
오스테나이트系 스테인레스 鋼(309 L)을 使用하였다.
化學組成 및 熔接金屬의 化學組成을 Table 2, 3에 각
각 나타낸다.

實驗方法은 母材鋼板(90 t×410×620 mm, 179 kg)에

Table 2. Chemical compositions of materials used.

Materials	Plate Thick Elect. Size (mm)	Chemical Compositions (wt %)										
		C	Si	Mn	P	S	Ni	Cr	Cu	Mo	Nb	Al
Base Metal 2½Cr-1 Mo	90	0.14	0.04	0.52	0.009	0.012	0.10	2.43	0.06	0.98	—	<0.005
Type 309 Strip	75×0.4 t	0.13	0.40	2.00	0.016	0.003	11.09	21.13	0.03	0.01	—	—

Table 3. Chemical compositions of overlaid weld metals.

Materials	Layer	Chemical compositions (wt. %)											
		C	Si	Mn	P	S	Ni	Cr	Cu	Mo	V	Al	Nb
309 L	1	0.041	0.43	1.67	0.17	0.006	9.02	17.44	0.02	0.17	0.05	0.021	0.01
"	2	0.023	0.46	1.83	0.018	0.005	10.50	19.75	0.01	0.04	0.06	0.023	0.01
"	3	0.018	0.42	1.84	0.018	0.005	10.74	20.35	0.01	0.01	0.06	0.020	0.01
2½Cr-1 Mo	B. M	0.16	0.03	0.53	0.007	0.011	0.15	2.45	0.07	1.00	0.01	0.005	0.005

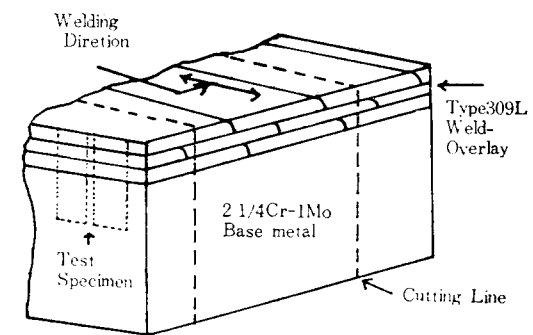


Fig. 4. Location of test specimens used for EPMA and hardness measurement.

5. 實驗結果 및 考察

5. 1 炭素濃度分布

EPMA에 의하여 熔接境界部의 線分析結果를 Fig 5, ~6에 나타낸다. 760°C의 PWHT를 實施한 경우, 熔接한 그대로인 경우에 비하여 PWHT 3 hr인 경우, 炭

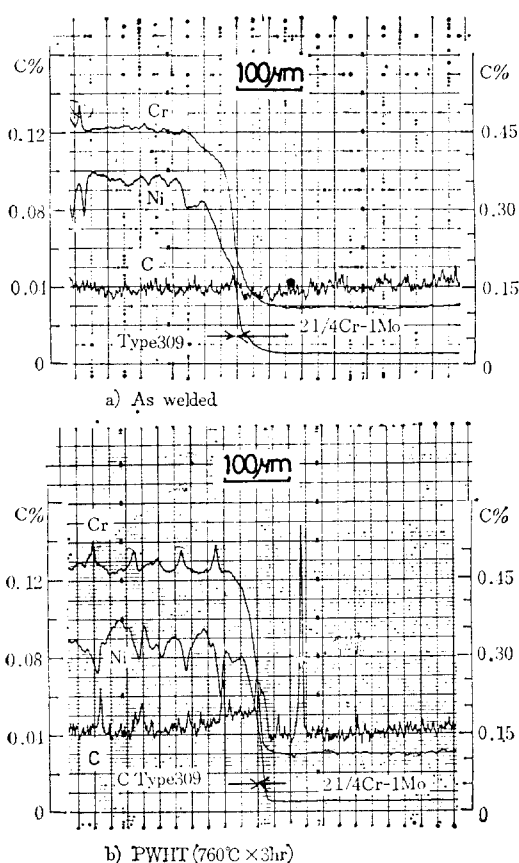


Fig. 5. Chemical composition profile measured by EPMA for overlay/base metal interface(As welded, PWHT; 760°C × 3hr).

素는 약간 스테인레스 熔接金屬側에擴散하고 있음을 알 수 있으며 이 때 스테인레스 熔接金屬側에形成된 침탄 폭은 약 100 μm 程度이나 PWHT 시간이 10 hr인 경우는 Fig. 6에 나타내고 있는 것처럼 浸炭層의 幅도 150 μm 에 달하고 있음을 알 수 있고, 특히 熔接境界部에서는 C가 혈저하게 高濃度化하고 있다. 이는 앞서 해석한 결과와 잘一致하고 있다. Cr, Ni의 濃度分布에 대해서는 次報에 검토할 예정이다.

5. 2 熔接境界部의 硬度分布

Fig. 7에 As-welded와 PWHT 時間이 각각 3, 10 hr인 경우의 境界部의 硬度分布를 나타내고 있다. As-welded材에 있어서는 熔接金屬側에서 硬度가 낮으며 母材側에서 높은 硬度分布를 나타내고 있으나 PHWT

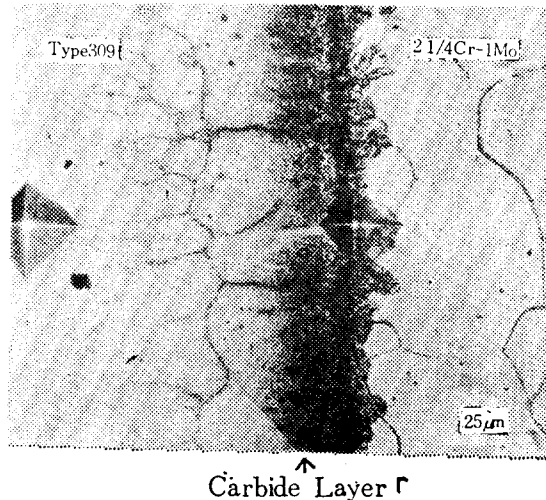


Fig. 6. Micro structure and chemical composition profile measured by EPMA for Overlay/Base metal interface (PWHT; 760°C × 10 hr).

를 實施함에 따라서 母材側의 硬度가 낮아짐과 더불어 오우버레이 熔接金屬側, 특히 境界部로부터 100~150 μm 범위에서 硬度가 높아지고 있다. 이와같이 PWHT에 따르는 境界部 근방의 硬度分布의 변화는 X線マイクロ-애너ализ(micro-analyzer)에 의한 炭素의 線分析에 의해 검증된 母材 중의 炭素가 오우버레이 熔接金屬側에 侵入하여 일어나는 現象을 잘 肖 받침해 주고 있다.

6. 結論

本考에서는 高溫高壓 하의 壓力容器材로 사용되는 低合金鋼(ferrite系)과 스테인레스 鋼(austenite系)이 접

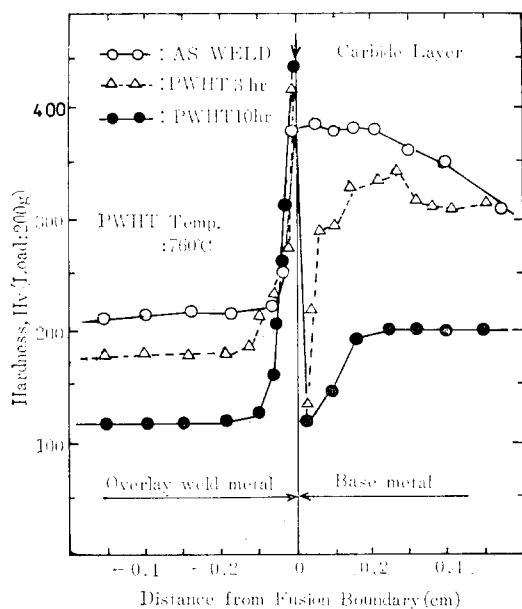


Fig. 7. Micro-hardness profile across overlay/Base metal interface at PWHT temp. (760°C).

하고 있는 경우의 炭素의 擴散解析을 행하였다. 동시에 PWHT 와 成分의 移動狀況에 擴散의 基礎式을 이용하여 解析的検討를 행한 후, 오우버레이 焊接境界部의 炭素移動에 대한 實驗結果와 比較하였다. 그리하여 PWHT 와 炭素의 移動에 관한 일반적 結論을導出한結果, 다음과 같은 結論을 얻었다.

1) 오오스테나이트系 스테인레스강 오우버레이 焊接部에 PWHT 를 實施한 경우에 發生하는 炭素의 uphill diffusion 現象을 解析하였다.

2) 오오스테나이트와 페라이트가 共存한 狀態의 炭素의 擴散은 Fick 的 第2法則에 따르지 않고, 化學포텐셜 勾配를 擴散의 驅動力으로 하는 일반적 物質擴散則에 따름을 나타내었다.

3) 2½Cr-1Mo 鋼에 오오스테나이트系 스테인레스 鋼을 오우버레이 焊接한 경우, PWHT 를 實施함에 따라서 용접 界面部에서는 스테인레스 鋼側에 높은 硬度值를 나타내며 母材側에서 낮은 硬度值를 나타낸다.

4) 焊接 界面部의 炭素濃度를 EPMA 에 의해 分析한 結果, 炭素濃度의 理論的 解析值와 잘 대應하고 있으며, 界面部의 硬度分布와도 잘 대應하고 있다.

끝으로 本研究는 大阪大學 工學部 焊接工學科 向井研究室에서 實施되었으며 本研究의 完成까지 始終 貴重한 助言을 해 주신 向井喜彦 教授, 松野博 先生, 村

田雅人 博士, 西村新 博士에게 깊은 感謝를 드리며, 大阪大學 焊接工學科 教授님들께도 아울러 깊은 感謝를 드린다. 또한 實驗用 鋼材의 提供에 全面的 協助를 해 준 日本製鋼(株)의 關係분들에게 깊은 感謝를 드린다.

参考文獻

- 佐伯ほか, “最近における壓力容器の設計製作技術” 日本製鋼所技報, No. 38, (1978), p. 5.
- 成田國郎, “溶接後熱處理の動向と内外規格”, 溶接技術, No. 11, (1982), p. 15~19.
- Watanabe, J. and Ohnishi, K., “Factors influencing hydrogen induced disbonding of stainless overlay weld metal of pressure vessels for high temperature hydrogen service”, Presented at ASME/MPC conference, (June 25, 1981), Denver, Colorado.
- 李暎浩, 向井喜彦, “ステンレス鋼肉盛溶接部の組織變化と水素脆化におよぼす PWHT の影響”, 溶接學會全國大會講演概要, 第33集, (1983), p. 96~97.
- 内藤, 渡邊, 大西ほか, “ステンレス鋼オーバレイを施した壓力容器の水素せい化に関する研究(第1報~第3報)”, 壓力技術, Vol. 18, No. 5, (1980), p. 31~55.
- 渡邊 寛, “ステンレスクラットド鋼溶接継手部の機械的性質に関する研究”, 日立製作所技報, (1961), 1, p. 1~262.
- H. Thielsch, “Stainless-steel weld deposits on mild and alloy steels”, Welding Jour., Vol. 31, (1952), p. 37s~64s.
- R. J. Christoffel and R. M. Curran, “Carbon migration in welded joints at elevated temperatures”, Welding Jour., Vol. 35, (1956), p. 457s~468s.
- R. W. Emerson and W. R. Hutchinson, “Welded Joints between Dissimilar metals in High-temperature Service”, Welding Jour., Vol. 31, (1952), p. 126s~141s.
- R. P. Smith, “Diffusivity of Carbon in by the steady State Method”, Acta Met., Vol. 1, (1953), p. 578~587
- 日本鐵鋼協會編, 鐵鋼便覽, (1961), p. 45.
- C. A. Wert, Physical Review, Vol. 79, (1950), p. 601.
- R. F. Mehl, AIME, Vol. 188, (1950), p. 533.
- 鈴木克己, “ステンレス肉盛溶接ボンド部の硬化について”, 溶接學會秋期講演, 第22集, (1972).